

愛媛大学工学部 正員 渡辺政広, 正員 喜田永次

これまで、都市域の流域をデリングながらに複雑な雨水流出を系統的にかつ簡便に解析しようる方法について、調査流域を設定して検討を進めてきているが、本報告では、流域をデリングに伴う lumping の流出シミュレーション結果に及ぼす効果とまず数値実験によつて考察し、さらに実際の調査流域について、実測結果と対比して検討する。次にこうした lumping に関する流域の雨水損失の取扱等について調べた結果を述べる。

流域をデリングに伴う lumping 効果に関する検討

数値実験による検討: Table 1 に示すような不透水域(流出面 I, II, III)が 90% を占める A 区域と透水域(IV, V)が 80% を占める B 区域で構成される流域 Model II とこれを lump した Model I を用いて、Fig. 1 に示すような A, B 区域の占有割合変化、並びに位置的変化が幹線下流端の流出特性に及ぼす影響について検討する。まず流出パラメーターは、流域を構成する各種の流出面および流路の諸量を基に算定する。次に有効降雨は、不透水域では凹地野留 DI を、透水域では凹地野留 DP と透水損失子(補給能モデル)を考慮し、各流出面の占有面積率 a_i をウェイトとして算定する。なお凹地野留については Linsley らの近似式を用いる(こうして雨水損失の算定法を以下 URC 法と仮称)。

さて数値シミュレーション結果の一部を示すと Fig. 2 のようだ、これより次の諸特徴が指摘される。1) 有効降雨((b)図)は、A 区域では不透水域の特性が支配的で降雨波形((a)図)に近く、B 区域では透水域の特性が支配的で特に降雨初期には損失が大きい。また Model I では A, B 区域の占有割合を反映した波形となる。このために特に降雨前半で波形に大きい差が現われ、これらの影響は幹線下流端の hydro. にまで及ぶ。2) 各流出面の流出 hydro. ((c)図)は、A 区域では入力波形に近似され、B 区域では緩慢な応答となり、Model I では A, B 区域の占有割合を反映したものとなる。こうした特徴は次の実験区域下流端((d)図)においても同様にみられる。

3) 幹線下流端の流出((2)図)は、Model II では A, B 区域の占有割合により流出 hydro. の特性が相当変化する。流出初期には特に不透水域の流出特性が卓越し、流域内 の A 区域がわずかでも不透水域の流出特性が現われる。lump された Model I の流出 hydro. は、不透水域が流域の大部分を占める場合では Model II の結果に近似するが、不透水域が減りてくると近似度が低下す

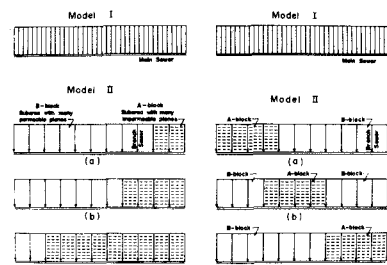
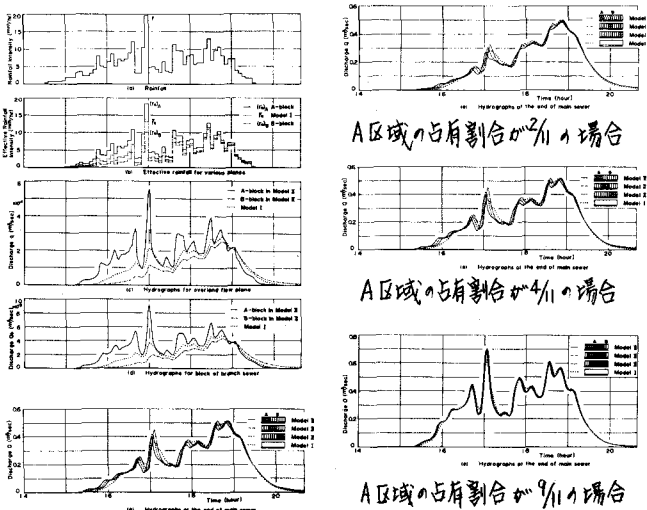


Fig. 1 数値実験に用いた流域モデル

STRIP	DESCRIPTION	LENGTH	SLOPE	ROUGHNESS	SURFACE WITH MOST	SURFACE WITH MOST
					IMPENETRABLE PLAINS	PENETRABLE PLAINS
I	Horizontal (1 strip, 100% impervious)	(3.88m) (0.05)	(0.02)	N_1	a_1	(2.7, 9.8)
II	Compaction Roofing (2 strips, Impervious)	(6.0) (0.01)	(0.01)	I_2	a_2	(1.5)
III	Street Pavement	(3.5) (0.031)	(0.02)	I_3	a_3	(3.2, 7)
IV	Grass, bare land (2 strips, Bare ground)	(2.0) (0.001)	(0.25)	I_4	a_4	(0.2)
V	Grass, bare land (2 strips, Park, Ground of School)	(10.0) (0.001)	(0.25)	I_5	a_5	(21.8) (1.9)

Table 1 代表流域面積との諸元



(1) A 区域占有割合が 9/11 の場合

A 区域の占有割合が 9/11 の場合

Fig. 2 数値シミュレーション結果

る。次にA区域の占有割合が同じでもその位置により流出量hydro.はかなり変化する。

調査流域に対する検討： 松山市街地域の幹線区域を対象に、流域内の不均一性を考慮して支線区域別に流域モデルリングした流域Model II (Fig. 3) とこれを lump した流域Model I を用いて流出シミュレーションを行ない、実測 hydro. と対比、検討した。結果の一例である Fig. 4 から明らかなように、流域Model II によるシミュレーション結果は Model I のそれに比べて、出水期間を通じて適合度が向じてきており、特に出水初期の適合度にかなりの向上が見られる。

以上より、不均一な流出場である都市域の雨水流出特性を詳細に議論するには、上述のように、流域内の不均一性を組み入れた流域モデルリングとそれによる流出シミュレーションが必要となってくる。

雨水損失の取扱いと流出シミュレーション結果

次に上述の lumping に関する雨水損失の取扱いと流出シミュレーション結果について述べる。前述の調査区域について、有効降雨を各流出面の雨水損失特性を考慮して取扱う場合 (URL 法) とこれを流域全体について取扱う場合 ($\Sigma R \sim \Sigma L$ の関係を用いる方法) による流出シミュレーション結果を比較、検討した。流域Model II を用いた結果は Fig. 5 のようだ、 $\Sigma R \sim \Sigma L$ の関係を用いる結果は全般的に扁平化しており、出水前半で流量ピークが特に小さくシミュレートされている。URL 法による結果は、出水期間を通じて実測 hydro. により近似した応答を示し、出水前半の適合度はかなり向じてくる。次に流域Model I によるシミュレーション結果においても、URL 法による結果は $\Sigma R \sim \Sigma L$ の関係を用いたそれに比べて、全般的に応答がよくなり、出水前半の適合度はかなり改善される。

都市域の雨水損失特性 (松山市街地域)

ここでは Table 2 に示すような各種流出面の雨水損失を考え、これら雨水損失に関する特徴値 (URL 法) を、松山市街地域について検討した。降雨強度が浸透能をこえ、また凹地貯留を十分満た降雨があると、雨水損失量 L は次式 $L = (A/A_p) = \int_0^t f(t) dt + D_{lb} (A_{lb}/A_p) + D_p \dots (1)$ のように表示される。ここに $f(t)$ に対し補給能モデルを用いる。また、不浸透面から流出する小降雨では次式 $L = (A_p/A) R + (A_{lb}/A) D_{lb} \dots (2)$ のようになる。こうして条件を満たす流出資料とともに、(2) 式の関係を示す Fig. 6 より D_l あるいは D_{lb} を、また (1) 式の関係を示す Fig. 7 の各線を描いて D_p やび他特徴値を求める。

すなわち、 $D_l = 2 \text{ mm}$, $D_{lb} = 5 \text{ mm}$, $D_p = 6 \text{ mm}$, $f_{05} = 13 \text{ mm/hr}$, $f_c = 2 \text{ mm hr}$, $\alpha = 1.05 \text{ hr}^{-1}$ で、従来の研究結果に近い値が得られた。今後さらに詳細に検討したい。

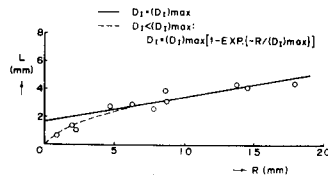


Fig. 6 (2)式の関係

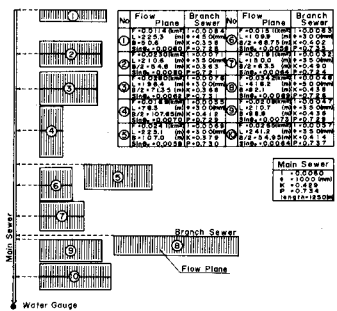


Fig. 3 調査流域(幹線排水区域)の流域Model II

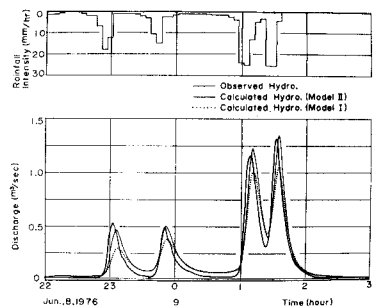


Fig. 4 流出シミュレーション結果

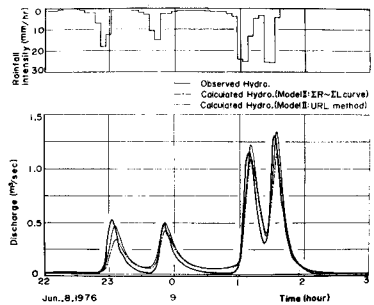


Fig. 5 雨水損失モデルの取扱いと流出シミュレーション結果

STRIP	DESCRIPTION	PERMEABILITY	DEPRESSION		A_{lb}
			Depressionless	D_l	
I	Composition Roofing (1)	Impervious			
II	Composition Roofing (2)	Impervious	Depression	D_l	
III	Street Pavement	Impervious		D_{lb}	
IV	Grassed, bare land (1)	Pervious			A_p
V	Grassed, bare land (2)	Pervious	Depression	D_p	A_p

Table 2 各種流出面と雨水損失

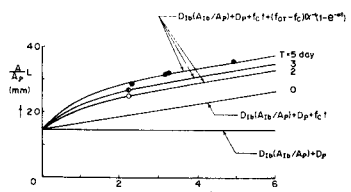


Fig. 7 (1)式の関係